

МОСКОВСКИЙ ГОСУДАРСТВЕННЫЙ УНИВЕРСИТЕТ

им. М. В. ЛОМОНОСОВА

МЕХАНИКО-МАТЕМАТИЧЕСКИЙ ФАКУЛЬТЕТ

КАФЕДРА ВЫЧИСЛИТЕЛЬНОЙ МАТЕМАТИКИ

КУРСОВАЯ РАБОТА

**«РЕАЛИЗАЦИЯ БИБЛИОТЕКИ ПАРАЛЛЕЛЬНОЙ
ЗАПИСИ БОЛЬШИХ ФАЙЛОВ С ВЕЩЕСТВЕННЫМИ
ЧИСЛАМИ В ТЕКСТОВОМ ПРЕДСТАВЛЕНИИ»**

**«IMPLEMENTATION OF A PARALLEL RECORD LIBRARY
OF LARGE FILES WITH FLOATING-POINT NUMBERS IN
A TEXT REPRESENTATION»**

Выполнила

Я. В. Нагорных

Научный руководитель

д. ф.-м. н., доцент К. Ю. Богачев

Москва

2018

Оглавление

| | |
|---|----|
| Введение | 2 |
| 1. Описание алгоритма | 4 |
| 1.1. Используемые структуры и классы | 4 |
| 1.2. Распределение задач | 5 |
| 1.3. Преобразование чисел в строковый тип | 6 |
| 2. Результаты работы и ускорение | 16 |
| 2.1. Тест 1. Массив случайных чисел | 16 |
| 2.2. Тест 2. Целые числа | 18 |
| 2.3. Тест 3. Повторяющиеся числа | 20 |
| 2.4. Тест 4. Огромные массивы | 21 |
| 2.5. Тестирование на реальных моделях | 23 |
| 3. Заключение | 24 |
| Список литературы | 25 |

Введение

Постановка проблемы. Печать больших массивов чисел без округления с большой точностью всегда занимает много времени. Однако, не вся печать упирается в возможности диска, как это может показаться. Кроме того, у печати данных мало ресурсов для ускорения.

Печать чисел с плавающей точкой также является проблемой, так как само значение числа и его экспоненту нельзя обрабатывать независимо.

Стандартный подход недостаточно точен и в некоторых случаях дает неверные результаты. Кроме того использование функций стандартных библиотек `printf` и `sprintf` достаточно затратно по времени.

Цели работы:

1. Ускорить печать больших массивов без потери точности;
2. Использовать быстрые алгоритмы печати целых чисел и чисел с плавающей точкой.

Обзор предыдущих решений. ????

Возможные варианты улучшений. Мы уже обратили внимание на то, что стандартная функция преобразования буфера в строковый тип `sprintf (char *, const char *, ...)` работает крайне долго. Возникает идея применения более быстрых алгоритмов преобразования чисел в строки. Так например быстрое логарифмирование, разбиение числа на цифры, может заметно ускорить процесс.

Можно уменьшить число обращений к диску. Как известно, данные, отправленные на запись, накапливаются в памяти и записываются тогда, когда получен символ переноса строки или что-то в этом роде. Значит, можно отправлять не по одному числу на печать, а сразу готовым буффером.

Другой идеей для улучшения является использование многопоточного программирования. Из-за того, что печать в файл должна быть строго последовательной, кажется, что ресурсов для распараллеливания немного. Нельзя разбить исходный массив на равные части и параллельно начать печать. Однако, так как большая часть времени уходит на преобразование чисел в строки, то можно распараллелить именно ее. Непосредственно запись в сам файл упирается в возможности диска. Ее ускорить нельзя.

Также можно задуматься над улучшениями и оптимизировать сам алгоритм, несколько модифицировав вид выходного массива. За счет этого можно уменьшить размер полученного файла. Если будет встречаться подряд несколько одинаковых чисел, то можно не записывать в файл их все. Также, немного уменьшит размер файла отбрасывание ненужных нулей в конце записи числа после точки.

1. Описание алгоритма

Схематично работа алгоритма параллельной записи показана на Рисунке 1.

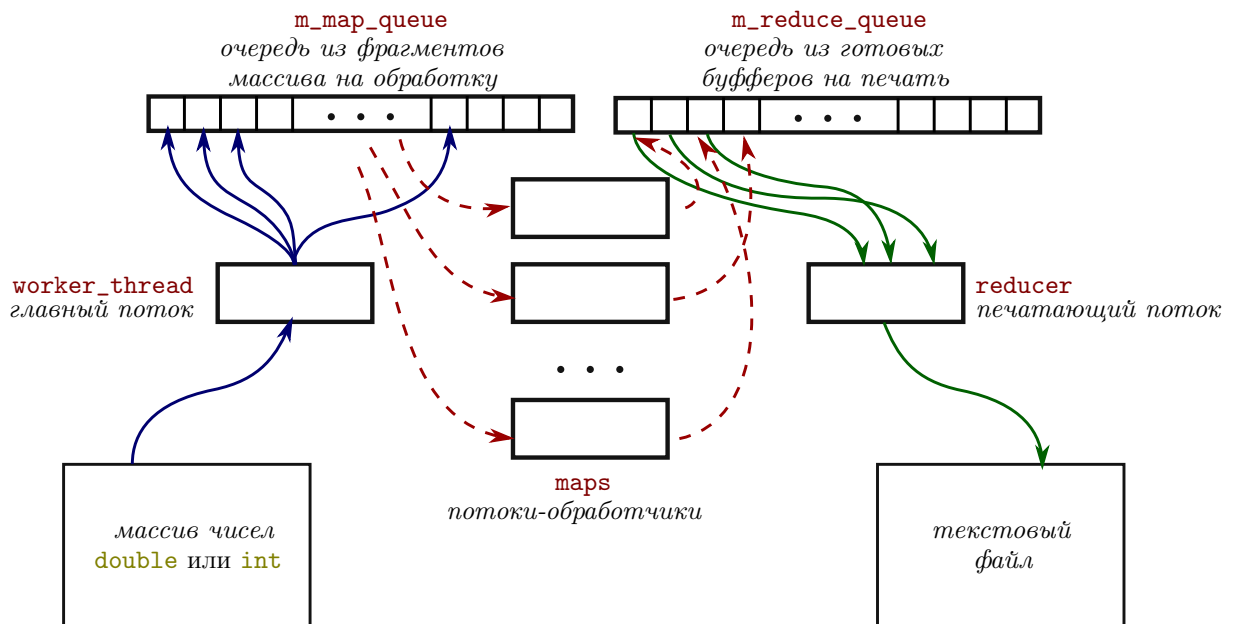


Рисунок 1. Работа потоков.

1.1. Используемые структуры и классы

Структура `reduce_chunk`. В ней находится строковый буфер, готовый для печати, и его порядковый номер `chunk_id`. Кроме того, хранится флаг, является ли этот `reduce_chunk` последним.

Структура `map_chunk`. Этот тип состоит из лямбда-функции, которая должна обработать определенный фрагмент массива чисел, и элемента типа `reduce_chunk`, возвращаемый функцией.

Класс `mutex_wait_queue`. Это упрощенная реализация *очереди сообщений*. Под ней понимается очередь со следующим свойством:

когда поток пытается прочесть что-то из пустой очереди, то он блокируется, до тех пор, пока какой-нибудь другой поток не положит в нее элемент. У этой очереди есть следующие методы:

- `dequeue` – достает верхний элемент из очереди, если очередь непустая. Иначе, поток, вызвавший этот метод блокируется. Также можно передать время блокировки, по истечении которого, поток разблокируется и вернется ни с чем;
- `dequeue_all` – аналогично `dequeue`, но достает все элементы, находящиеся в очереди, и складывает в переданный указатель вектор из них;
- `enqueue` – кладет элемент в конец очереди.

Класс `worker_thread`. Это главный управляющий поток. Он хранит две очереди сообщений `m_map_queue` и `m_reduce_queue`, состоящие из `map_chunk` и `reduce_chunk` соответственно. Зачем нужны такие очереди, будет сказано позже.

1.2. Распределение задач

Управляющий, или главный, поток `worker_thread` вызывает функцию `create_mappers()`, которая создает несколько потоков-обработчиков, которые преобразовывают числа в строки, и функцию `create_reducer()`, которая создает печатающий поток. Сам управляющий поток будет складывать элементы типа `map_chunk` в очередь `m_map_queue`. Потоки-обработчики будут доставать из этой очереди `map_chunk`-и на обработку и конвертировать числа в буфе-

ры типа `reduce_chunk`, готовые для печати. Эти готовые буферы они будут складывать в другую очередь `m_reduce_queue`. Печатающий поток должен забирать все готовые буферы из этой очереди и записывать их в правильном порядке в файл.

1.3. Преобразование чисел в строковый тип

Мы уже говорили о том, что вместо стандартных функций `sprintf`, `strtod` и подобных им, будем использовать более быстрый алгоритм преобразования чисел, а именно алгоритм `Grisu2`.

Но прежде чем приступить к самому описанию этого алгоритма, сначала приведем используемые обозначения и кратко опишем его «предшественника» `Grisu`.

Используемые обозначения.

Приведем используемые далее обозначения и понятия.

Мы рассматриваем стандарт `IEEE 754` – формат представления чисел с плавающей точкой. Знак числа хранится отдельно, поэтому далее мы будем рассматривать положительные числа, имея ввиду, что у отрицательных чисел «-» записан в отдельном бите.

Вообще, число v с плавающей точкой по основанию b представляется в памяти как

$$v = f_v \times b^{e_v},$$

где основание b в стандарте `IEEE 754` равно 2. f_v – целое значение или *мантисса*, а e_v – *показатель*.

Любая мантисса f может быть представлена как

$$f = \sum_{i=0}^{p-1} d_i \times b^i,$$

где $0 \leq d_i \leq b$. Числа d_i — *знаки числа*.

Будем называть число *нормированным*, если последний знак d_{p-1} отличен от нуля. Если экспонента может принимать любые неограниченные значения, то любое ненулевое число можно так нормировать путем сдвига знака влево при соответствующей корректровке экспоненты.

В стандарте IEEE 754 представлены не все вещественные числа. Из-за этого, числа, которые не могут быть записаны через этот стандарт, будем округлять. Как известно, числа с 5 на конце, могут округляться по-разному. Используем следующие обозначения:

- $[x]^\uparrow$ — округление вверх;
- $[x]^\square$ — округление до ближайшего четного: например, число 0.5 округляется до 0, а число 1.5 до 2;
- $[x]^\star$ — используется, когда неважно, как именно округлять;
- $\tilde{x} = [x]_p^s$ — округленное число до p знаков после запятой, а s — один из вышеизложенных способов округления.

Количественно определим ошибку $|\tilde{x} - x|$ следующим образом. Представим \tilde{x} в виде $\tilde{x} = f \times b^e$, а f округлим до ближайшего такого, что $|\tilde{x} - x| \leq 0.5 \times b^e$, или другими словами, до половины единицы последнего разряда **ulp** (*unit in the last place*).

Для положительного числа $v = f_v \times b^{e_v}$ определим ближайшие в памяти числа к нему. v^- – предыдущее число для v , хранящееся в памяти. Аналогично v^+ – следующее число за v . Если v наименьшее, то $v^- = 0$. Если v наибольшее, то $v^+ = v + (v - v^-)$.

Введем понятие *границы* между двумя соседними числами. По определению это просто средние арифметические

$$m^- = \frac{v^- + v}{2} \quad \text{и} \quad m^+ = \frac{v + v^+}{2}.$$

Очевидно, что границы нельзя представить в виде чисел с плавающей точкой, так как они лежат между двумя соседними числами в памяти. Поэтому любое число w , такое что $m^- < w < m^+$, будет округлено до v . Если же w совпало с одной из границ будем округлять его до ближайшего четного.

Будем говорить, что представление R у числа с плавающей точкой v *удовлетворяет требованию* с максимальной точностью без округления, если при чтении R будет представлено как v .

Определим тип `diy_fp` для x как беззнаковое целое число f_x , состоящее из q битов, и знакового целого числа e_x неограниченного диапазона. Значение x можно вычислить как $x = f_x \times 2^{e_x}$. Другими словами, строим отображение:

$$x \rightarrow (f_x, e_x), \quad f_x \in (0, 2^{q-1}] \cap \mathbb{Z}, \quad e_x \in \mathbb{Z}, \quad \text{т.ч. } x = f_x \times 2^{e_x}$$

Введем произведение двух таких типов. Вычислять и обозначать его будем следующим образом:

$$x \otimes y := \left[\frac{f_x \times f_y}{2^q} \right]^\uparrow \times 2^{e_x + e_y + q}.$$

Алгоритм Grisu

В статье [1] описан алгоритм Grisu и его улучшения, также доказана точность его работы. Опишем кратко этот алгоритм.

Идея алгоритма. Предполагается, не умаляя общности, что у числа с плавающей точкой v отрицательный показатель. Тогда это число можно выразить как

$$v = \frac{f_v}{2^{-e_v}}.$$

Десятичные цифры v могут быть вычислены путем нахождения десятичного показателя t , для которого $1 \leq \frac{f_v \times 10^t}{2^{-e_v}} < 10$.

Первая цифра является целой частью этой дроби. Последующие цифры вычисляются путем повторного использования оставшейся дроби: нужно умножить числитель на 10 и взять целую часть от вновь полученной дроби.

Идея Grisu состоит в кешировании приблизительных значений дробей $\frac{10^t}{2^{e_t}}$. Дорогостоящих операций с большими числами не будет: они заменяются операциями с целыми числами фиксированного размера.

Кэш для всевозможных значений t и e_t может быть весьма затратным. Из-за этого требования к кеш-памяти в Grisu упрощены: кэш хранит только нормированные приближения с плавающей точкой всех соответствующих степеней десяти, а не самих дробей. Таким образом хранятся

$$\tilde{c}_k := [10^k]_q^*,$$

где q – точность кэшированных чисел. Кэшированные числа сокращают большую часть вычисления экспоненты v , так что остается вычислить только показатель.

В процессе вычисления знаков используются степени десяти с экспонентой $e_{\tilde{c}_t}$, близкой к e_v . Разница между двумя показателями будет небольшой. Фактически, Grisu выбирает степени десяти так, что разница лежит в определенном диапазоне.

Реализация. Алгоритм Grisu:

- *Вход:* положительное число с плавающей точкой v точности p .
- *Условие:* точность `diy_fp` удовлетворяет $q \geq p + 2$, а кеш степеней десяти состоит из предварительно вычисленных нормированных округленных `diy_fp` со значениями $\tilde{c}_k := [10^k]_q^*$
- *Вывод:* строковое представление в основании 10 для V такое, что $[V]_p^\square = v$. То есть при чтении числа V , оно должно быть округлено до v .

Шаги алгоритма:

1. *Преобразование:* определим нормированный `diy_fp` w такой, что $w = v$.
2. *Кэширование степеней:* сначала вычисляем

$$k = - \lceil \log_{10} 2^{\alpha - e + q - 1} \rceil ,$$

а затем находим с заданной точностью

$$\tilde{c}_{-k} = f_c \times 2^{e_c}$$

такое, что $\alpha \leq e_c + e_w + q \leq \gamma$. (α и γ заданные заранее параметры, причем $\alpha + 3 \leq \gamma$. Считаем $\alpha = 0$ и $\gamma = 3$).

3. *Произведение*: пусть

$$\tilde{D} = f_D \times 2^{e_D} := w \otimes \tilde{c}_{-k}.$$

4. *Выход*: определим искомое

$$V := \tilde{D} \times 10^k.$$

Вычислим десятичное представление \tilde{D} , за которым следует строка **e** и десятичное представление k .

Поскольку значение `diy_fp` больше, чем значение входного числа, преобразование в шаге 1 дает точный результат. По определению `diy_fp`-ы имеют бесконечный диапазон экспоненциальности, и следовательно, показатель степени w достаточно велик для нормирования. Заметим, что показатель e_w удовлетворяет $e_w \leq e_v - (q - p)$.

Легко показать, что $\forall i \quad 0 < \tilde{e}_{c_i} - \tilde{e}_{c_{i-1}} \leq 4$, и поскольку кеш неограничен, требуемый \tilde{c}_{-k} должен находиться в кеше. Это является причиной первоначального требования $\gamma \geq \alpha + 3$. Разумеется, бесконечный кеш не нужен.

Результатом `Grisu` является строка, содержащая десятичное представление \tilde{D} , за которым следуют символ **e** и k знаков. Таким образом, он представляет собой число $V := \tilde{D} \times 10^k$. Утверждается, что представление V у числа v удовлетворяет требованию с точностью p .

Алгоритм Grisu2

Но у Grisu есть недостаток: так число 1 будет напечатано в виде $10000000000000000000e-19$ (т.к. согласно алгоритму $k = -19$). Поэтому будем использовать Grisu2. Этот алгоритм является усовершенствованием предыдущего и не записывает лишние нули в конец числа. Так, если целочисленный тип `diy_fp` содержит более двух дополнительных битов, или так называемых флагов, то эти флаги можно использовать для сокращения длины выходной строки. В отличие от Grisu, Grisu2 не генерирует полное десятичное представление, а просто возвращает цифры (123) и соответствующий показатель (-2). Затем процедура форматирования объединяет эти данные для получения представления в требуемом формате.

Идея алгоритма. Как описано выше, Grisu2 использует дополнительные флаги для создания более короткой выходной строчки. Также Grisu2 не будет работать с точными числами, а вместо этого будет вычислять аппроксимации m^- и m^+ . Чтобы избежать ошибочных результатов, которые не удовлетворяют требованиям, добавляется так называемое безопасное пространство (*safety margin*) вокруг приблизительных границ. То есть увеличили диапазон, в котором, согласно алгоритму, может оказаться полученное число. Как следствие, Grisu2 иногда может вернуть не самое оптимальное представление: оно может лежать вне изначальных границ. Во избежание таких проблем добавляется третий дополнительный флаг: $q \geq p + 3$.

Реализация. Алгоритм Grisu2:

- *Вход*: положительное число с плавающей точкой v точности p .
- *Условие*: точность `diy_fp` удовлетворяет $q \geq p + 3$, а кеш степеней десяти состоит из предварительно вычисленных нормированных округленных `diy_fp` значений $\tilde{c}_k := [10^k]_q^*$
- *Вывод*: десятичные знаки d_i , где $0 \leq i \leq n$ и целочисленное K , такое что $V := d_0 \dots d_n \times 10^K$ удовлетворяет $[V]_p^\square = v$.

Шаги алгоритма:

1. *Границы*: вычисляем границы для v : m^- и m^+ .
2. *Преобразование*: определим `diy_fp` для w^+ так ,что $w^+ = m^+$.
Определим также `diy_fp` для w^- так, что $w^- = m^-$ и $e_w^- = e_w^+$.
3. *Кэширование степеней*: находим с заданной точностью

$$\tilde{c}_{-k} = f_c \times 2^{e_c}$$

такое, что $\alpha \leq e_c + e_w + q \leq \gamma$.

4. *Произведение*: вычисляем

$$\tilde{M}^- := w^- \otimes \tilde{c}_{-k};$$

$$\tilde{M}^+ := w^+ \otimes \tilde{c}_{-k};$$

и пусть также

$$M_{\uparrow}^- := \tilde{M}^- + 1\text{ulp};$$

$$M_{\downarrow}^+ := \tilde{M}^+ - 1\text{ulp};$$

$$\delta := M_{\downarrow}^+ - M_{\uparrow}^-.$$

5. *Количество разрядов*: находим наибольшее κ такое,

$$\text{что } M_{\downarrow}^+ \bmod 10^{\kappa} \leq \delta \text{ и определим } P := \left\lfloor \frac{M_{\downarrow}^+}{10^{\kappa}} \right\rfloor.$$

6. *Выход*: определим $V := P \times 10^{k+\kappa}$. Получаем десятичные знаки d_i и число n путем вычисления десятичного представления P . Положим $K := k + \kappa$ и возвращаем его с n знаками d_i .

Grisu2 не дает никаких гарантий относительно краткости длины результата. Его результатом является кратчайшее возможное число в интервале от $M_{\uparrow}^- \times 10^k$ до $M_{\downarrow}^+ \times 10^k$ включительно, где $M_{\uparrow}^- \times 10^k$ и $M_{\downarrow}^+ \times 10^k$ зависят от точности q для `diy_fp`. Чем больше q , тем ближе $M_{\uparrow}^- \times 10^k$ и $M_{\downarrow}^+ \times 10^k$ к фактическим границам m^- и m^+ .

Для наглядности на Рисунке 2 приведен пример работы Grisu2. В частности, видно, что алгоритм отбрасывает лишние нули в конце числа и что выбирает более короткую запись числа. Иррациональное число Grisu2 напечатал с машинной точностью.

Улучшения для алгоритма

Будем использовать следующее улучшение. (*попробовать сравнить `diy_fp`*) Пусть в массиве есть n подряд идущих одинаковых чисел с заданной точностью, то есть $\forall i : 0 \leq i \leq n$ верно, что $\|x_i - x_{i+1}\| \leq \varepsilon$, где ε – машинная точность. В таком случае сократим запись n чисел и вернем строку вида `n*x`. Таким образом, если в нашем массиве много повторяющихся чисел, то выходная строка будет гораздо короче, а значит, можно ускорить программу и уменьшить размер выходного файла. Для этого также нужно модифицировать алгоритм чтения, чтобы он мог обрабатывать запись вида

| | | |
|-------------------------|---|----------------------|
| array[0] = 1; | → | 1 |
| array[1] = 1.2; | | 1.2 |
| array[2] = 1.23; | | 1.23 |
| array[3] = 1.23400000; | | 1.234 |
| array[4] = 1.23456789; | | 1.23456789 |
| array[5] = -1; | | -1 |
| array[6] = -1.234; | | -1.234 |
| array[7] = sqrt (2); | | 1.4142135623730952 |
| array[8] = 1234e-36; | | 1.234e-33 |
| array[9] = 0.000000123; | | 1.23e-7 |
| array[10] = 0.123; | | 0.123 |
| array[11] = 12.3; | | 12.3 |
| array[12] = 123; | | 123 |
| <i>массив</i> | | <i>выходной файл</i> |

Рисунок 2. Полученный с помощью Grisu2, выходной файл для данного массива.

$n \times x$.

Запись целых чисел n , о которых сказано выше, также можно ускорить. Для этого используется алгоритм 2 из статьи [2]. Суть алгоритма заключается в быстром логарифмировании числа по основанию 10.

2. Результаты работы и ускорение

Чтобы проверить эффективность работы алгоритма параллельной записи, описанного в 1, проведено сравнение с алгоритмом стандартной печати:

```
for (int i = 0; i < n;)
{
    for (int j = 0; j < m; j++, i++)
        fprintf (f, "%.16f", a[i]);
    fprintf (f, "\n");
}
```

Здесь n – размер массива, а m – количество чисел, записываемых в одну строку. Стандартная печать будет записывать числа с 16 знаками после запятой.

Для всех дальнейших тестов было сделано следующее. Оба выходных файла, полученные работой параллельного алгоритма и стандартного, считывались вновь. Затем вычислялась разница между считанными числами. Во всех запусках погрешность не превышала машинной точности, что говорит о точности работы реализованного алгоритма.

2.1. Тест 1. Массив случайных чисел

Оба алгоритма запускались на одних и тех же массивах вещественных чисел, сгенерированных случайным образом. Этот тест полезен тем, что в реальных моделях данные могут задаваться каким-либо распределением (например, нормальным), где все числа

являются вещественными и различными.

Описанный в Разделе 1 алгоритм параллельной записи запускался с разным числом потоков.

Время работы в секундах для обоих алгоритмов приведено в Таблице 1. Под числом потоков понимается число потоков-обработчиков. Таким образом реально задействовано на два потока больше, так как помимо обработчиков есть еще управляющий поток и печатающий.

| Размер массива | Число потоков | | | | Стандартная печать | Размер файла |
|----------------|---------------|--------|--------|---------|--------------------|--------------|
| | 12 | 8 | 4 | 1 | | |
| 10^7 | 0.550 | 0.496 | 0.880 | 3.196 | 4.256 | 245 MB |
| | 0.500 | 0.467 | 0.841 | 3.239 | 4.176 | |
| | 0.473 | 0.457 | 0.802 | 3.052 | 4.188 | |
| $5 \cdot 10^7$ | 2.420 | 2.394 | 4.044 | 15.377 | 22.476 | 1.2 GB |
| | 2.446 | 2.208 | 4.273 | 16.309 | 21.116 | |
| | 2.339 | 2.096 | 4.179 | 15.327 | 20.893 | |
| 10^8 | 4.665 | 4.320 | 8.276 | 32.461 | 41.712 | 2.4 GB |
| | 4.630 | 4.302 | 7.970 | 30.571 | 41.785 | |
| | 4.544 | 4.362 | 8.078 | 30.757 | 41.961 | |
| $5 \cdot 10^8$ | 38.074 | 38.178 | 49.150 | 188.914 | 201.941 | 12 GB |
| | 38.297 | 38.562 | 50.089 | 189.082 | 202.333 | |
| | 38.171 | 37.730 | 49.168 | 188.521 | 201.692 | |

Таблица 1.

Заметим, что время работы на двенадцати потоках несколько больше, чем на восьми. Это обусловлено тем, что в первом случае не все потоки были загружены.

Также стоит заметить, что отношение времени работы при увеличении количества потоков заметно уменьшается, и при увеличении размеров массива стремится к обратному отношению числа потоков. Тот факт, что эти отношения не строго равны объясняется сразу несколькими факторами. Во-первых, часть времени, хоть и небольшую при таких данных, занимала запись на диск. Во-вторых, не все потоки могли быть все время задействованными. Некоторые потоки могли обращаться к пустой очереди и тем самым тратить время на ожидание.

Среднее ускорение работы алгоритма по сравнению со стандартной печатью приведены в следующей Таблице 2:

| Размер массива | Число потоков | | | |
|-------------------|---------------|------|------|------|
| | 12 | 8 | 4 | 1 |
| 10^7 | 8.20 | 8.88 | 5.00 | 1.33 |
| $5 \cdot 10^7$ | 8.95 | 9.79 | 5.16 | 1.37 |
| 10^8 | 9.06 | 9.23 | 5.16 | 1.34 |
| $5 \cdot 10^8$ | 5.29 | 5.29 | 4.08 | 1.06 |

Таблица 2.

Заметим, что при увеличении массива до определенного размера, ускорение возрастает, а затем спадает. Первое объясняется тем, что с увеличением объема данных, потоки простаивают меньше. Второй факт будет рассмотрен подробнее в пункте [2.4](#).

2.2. Тест 2. Целые числа

Этот тест позволит проверить, как обрабатывает наш алгоритм целые числа. Массив состоит из сгенерированных случайным обра-

зом целых чисел от 0 до 1000.

| Размер массива | Число потоков | | | | Стандартная печать |
|-------------------|---------------|--------|--------|--------|-----------------------|
| | 16 | 12 | 4 | 1 | |
| 10^7 | 0.373 | 0.225 | 0.362 | 1.297 | 5.500 |
| | 0.287 | 0.215 | 0.350 | 1.284 | 5.445 |
| | 0.316 | 0.213 | 0.337 | 1.266 | 5.512 |
| $5 \cdot 10^7$ | 1.577 | 1.052 | 1.664 | 6.362 | 27.934 |
| | 1.564 | 1.069 | 1.675 | 6.375 | 29.461 |
| | 1.859 | 1.071 | 1.662 | 6.490 | 29.431 |
| 10^8 | 3.457 | 2.165 | 3.274 | 12.614 | 55.044 |
| | 3.018 | 2.245 | 3.309 | 12.632 | 55.703 |
| | 3.312 | 2.229 | 3.548 | 13.668 | 56.312 |
| $5 \cdot 10^8$ | 15.865 | 10.824 | 16.682 | 62.944 | 283.614 |
| | 17.116 | 10.910 | 16.683 | 64.088 | 290.702 |
| | 16.558 | 10.155 | 16.452 | 64.128 | 287.546 |

Таблица 3.

| Размер массива | Число потоков | | | | Размер файла |
|-------------------|---------------|-------|-------|------|-----------------|
| | 16 | 12 | 4 | 1 | |
| 10^7 | 16.86 | 25.20 | 15.68 | 4.27 | 56 MB / 205 MB |
| $5 \cdot 10^7$ | 17.36 | 27.20 | 17.36 | 4.51 | 295 MB / 1 GB |
| 10^8 | 17.06 | 25.16 | 16.49 | 4.29 | 590 MB / 2 GB |
| $5 \cdot 10^8$ | 17.39 | 27.02 | 17.30 | 4.51 | 2.9 GB / 10 GB |

Таблица 4.

Заметим, что размер файла, полученного с помощью нового алгоритма гораздо меньше размера файла, полученного стандартной пе-

чатью, так как отброшены лишние нули.

2.3. Тест 3. Повторяющиеся числа

Сгенерируем массив чисел из 0 и 1. В этом случае все последовательности одинаковых подряд идущих чисел будут сворачиваться в короткую строку вида $n \cdot x$.

Также с помощью этого теста во-первых можно проверить работу с целыми числами, а во-вторых убедиться в том, что Grisu2 отбрасывает ненужные нули.

Были сделаны замеры времени аналогично предыдущему тесту. Время работы в секундах приведено в Таблице 3:

| Размер массива | Число потоков | | | | Стандартная печать |
|-------------------|---------------|--------|-------|--------|-----------------------|
| | 16 | 12 | 4 | 1 | |
| 10^7 | 0.318 | 0.249 | 0.188 | 0.652 | 3.645 |
| | 0.334 | 0.256 | 0.190 | 0.629 | 3.622 |
| | 0.307 | 0.251 | 0.192 | 0.661 | 3.620 |
| $5 \cdot 10^7$ | 1.657 | 1.274 | 0.884 | 3.183 | 18.412 |
| | 1.505 | 1.247 | 0.891 | 3.167 | 18.306 |
| | 1.522 | 1.262 | 0.894 | 3.175 | 18.261 |
| 10^8 | 3.105 | 2.441 | 1.726 | 6.306 | 36.194 |
| | 2.983 | 2.453 | 1.820 | 6.329 | 36.388 |
| | 3.246 | 2.505 | 1.759 | 6.339 | 36.419 |
| $5 \cdot 10^8$ | 16.194 | 12.575 | 8.681 | 31.505 | 181.221 |
| | 16.414 | 12.564 | 8.787 | 31.291 | 181.406 |
| | 15.815 | 12.555 | 8.764 | 31.690 | 182.524 |

Таблица 5.

Среднее ускорение приведено в Таблице 6. Также приведен размер файла "со звездами", полученным быстрым алгоритмом, и размер файла "без звезд", полученного алгоритмом стандартной печати.

| Размер массива | Число потоков | | | | Размер файла |
|-------------------|---------------|-------|-------|------|-----------------|
| | 16 | 12 | 4 | 1 | |
| 10^7 | 11.35 | 14.40 | 19.10 | 5.61 | 24 MB / 187 MB |
| $5 \cdot 10^7$ | 11.74 | 14.53 | 20.60 | 5.77 | 123 MB / 936 MB |
| 10^8 | 11.68 | 14.73 | 20.55 | 5.74 | 245 MB / 1.8 GB |
| $5 \cdot 10^8$ | 11.26 | 14.46 | 20.78 | 5.77 | 1.2 GB / 9.4 GB |

Таблица 6.

Если сравнить эту таблицу с аналогичной в предыдущем пункте, то можно заметить, что ускорения возросли. Это произошло за счет того, что благодаря записи со звездами, заметно уменьшился и размер выходного файла, а как следствие уменьшилось и время работы.

2.4. Тест 4. Огромные массивы

Здесь, как и в первом случае, числа будут генерироваться случайным образом. Сравнивать будем стандартную печать и алгоритм, запущенный на 12 (+2) потоках.

Помимо обычного запуска, проведем и запуск с записью не на диск, а в разделяемую память *shared-memory*. Как известно, разделяемая память является самым быстрым средством обмена данными между процессами.

Ранее говорилось, что скорость диска влияет на печать, но не всегда сильно. Засчет сравнения записи на диск и в *shared-memory* можно оценить, это влияние.

Далее на Рисунке 3 приведена зависимость времени работы от размера массива.

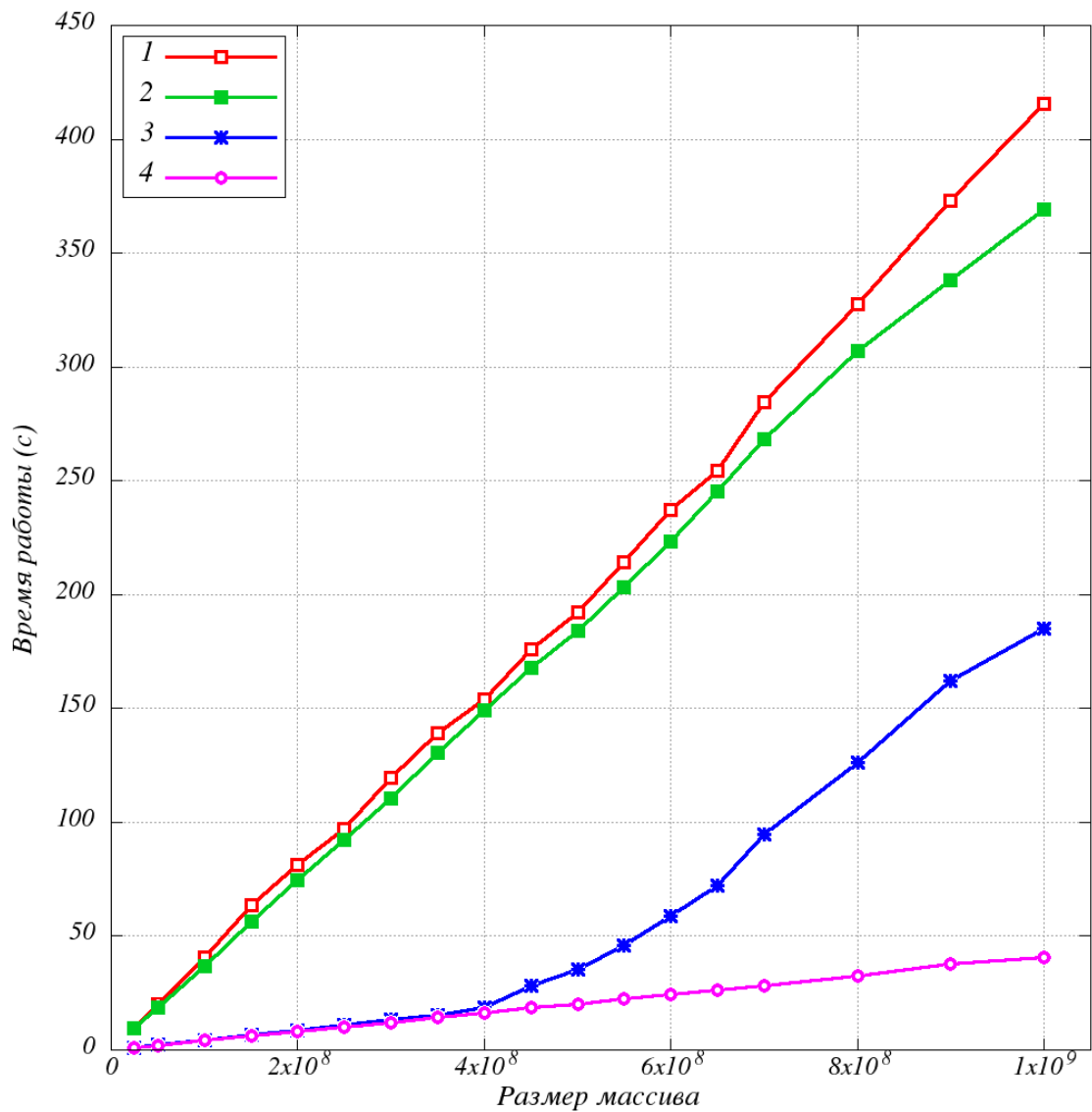


Рисунок 3. 1 – стандартная печать с записью на диск; 2 – стандартная печать с записью в разделяемую память; 3 – алгоритм параллельной печати с записью на диск; 4 – алгоритм параллельной печати с записью в разделяемую память.

Сначала хочется заметить, что стандартная печать не сильно

замедляется при записи в диск. Все время скорость работы диска была порядка 40–50 Mb/s. Диск фактически не оказывает никакого существенного влияния на работу.

Из графиков также видно, что при записи в *shared-memory* отношение времени работы стандартного алгоритма и ускоренного постоянно, так как оба графика – прямые. Это значит, что ускорение одинакового на всех данных.

Однако, такого нельзя сказать в случае записи на диск. На графике в точке $4 \cdot 10^8$ (9.6 GB) происходит излом: начинает ощущаться влияние диска. Именно это мы и наблюдали в Тесте 1 – ускорение немного упало при $5 \cdot 10^8$. С этого момента печать начинает упираться в диск. При запуске тестов было замечено, что скорость записи на диск временами достигает 800-900 Mb/s. Из-за слишком больших файлов (так файл при размере массива 10^9 достигает 24 GB) создается очередь из буфферов на печать. Потоки-обработчики обрабатывают буфферы быстрее, чем производится сама печать. Разница между третьим и четвертым графиком – накладные расходы на работу диска.

2.5. Тестирование на реальных моделях

?????

| | Время работы | Время работы | Ускорение |
|-------|--------------|--------------|-----------|
| COORD | 0.028 | 0.003 | 9.33 |
| ZCORN | 0.135 | 0.013 | 10.38 |
| COORD | 0.132 | 0.010 | 13.2 |
| ZCORN | 12.819 | 0.982 | 13.05 |

3. Заключение

В результате написания курсовой работы была решена поставленная задача: реализована библиотека параллельной записи массивов вещественных чисел.

В ходе тестирования была проверена точность работы реализованного алгоритма, а также измерено ускорение в сравнении со стандартной функцией печати.

Написанная на языке C++ подпрограмма была внедрена в промышленный гидродинамический симулятор tNavigator.

Список литературы

1. FLORIAN LOITSCH. Printing Floating-Point Numbers Quickly and Accurately with Integers. 2004
2. WOJCIECH MUŁA. SSE: conversion integers to decimal representation, 2011.
3. БОГАЧЕВ К.Ю.. Основы параллельного программирования. – М.: Бином. Лаборатория знаний, 2010.
4. DAVID GOLDBERG. What every computer scientist should know about floating-point arithmetic. – ACM Computing Surveys, 23(1): 5–48, 1991.